

## Позднерифейские морозовские субвулканические базальтоиды северо-западного Пай-Хоя

Вовчина Т.А.

Институт геологии ФИЦ Коми НЦ УрО РАН, Сыктывкар, [ta\\_kaneva@mail.ru](mailto:ta_kaneva@mail.ru)

**Аннотация.** Приводятся результаты петрологического и минералогического исследований базальтов и андезибазальтов, входящих в состав морозовских субвулканических образований северо-западного Пай-Хоя (Амдерминский район). Определенным критерием отличия субвулканических образований от эфузивных пород является обильное количество в них крупных порфировых короткопризматических вкрапленников клинопироксена (ряда эндиопсид-диопсид-авгит) размером до 1.5 см. Установлено, что клинопироксены имеют зональность, связанную с фракционной кристаллизацией магмы (обогащение краев зерен Fe, Al). Расчеты средних показателей железистости клинопироксенов показали, что субвулканические базальтоиды кристаллизовались при более высокой температуре на большей (но незначительно) глубине по сравнению с эфузивными породами морозовской свиты.

**Ключевые слова:** базальт, андезибазальт, клинопироксен, субвулканические образования, морозовская свита, поздний рифей, Пай-Хой.

## Late Riphean Morozov subvolcanic basaltoids of the northwestern Pay-Khoy

Vovchina T.A.

Institute of Geology, Federal Research Centre of the Komi Science Centre, Ural Branch, RAS, Syktyvkar, [ta\\_kaneva@mail.ru](mailto:ta_kaneva@mail.ru)

**Abstract.** The results of petrological and mineralogical studies of basalts and andesibasalts that are part of the Morozov subvolcanic bodies of the northwestern Pay-Khoy (Anderma region) are reported. A certain criterion for distinguishing subvolcanic bodies from effusive rocks is the plentiful number of large porphyry short-prismatic inclusions of clinopyroxene (a series of endiopsid-diopsid-augite) up to 1.5 cm in size. It was established that clinopyroxenes have a zoning associated with fractional crystallization of magma (enrichment of the edges of Fe, Al grains). Calculations of the average iron content of clinopyroxene showed that subvolcanic basaltoids crystallized at a higher temperature at a greater (but insignificant) depth compared to effusive rocks of the Morozov Formation.

**Keywords:** basalt, andesibasalt, clinopyroxene, subvolcanic bodies, Morozov Formation, Late Riphean Pay-Khoy.

### Введение

В пределах вулканогенно-осадочной верхнерифейской морозовской свиты северо-западного Пай-Хоя присутствуют многочисленные субвулканические тела, которые являются наиболее ярким свидетельством положения очага активного вулканизма. Именно к субвулканическим, а не эфузивным эти образования впервые были отнесены А.С. Микляевым в 1971 г. на основании общегеологических наблюдений.

С помощью результатов петрологических и минералогических исследований нами предпринята попытка определения принадлежности этих образований к субвулканическим в составе морозовской свиты северо-западного Пай-Хоя.

### Геологическое строение района

В геологическом строении северо-западной части Пай-Хоя значительную роль играют остро-водужные образования позднерифейско-вендинского возраста, которые находятся в ядре антиклинальной структуры Амдерминского блока. Амдерминский блок представляет собой горст-антиклиниорий (рис. 1), северо-восточное крыло которого сложено карбонатными отложениями амдерминской свиты ( $RF_3$ -Vam), а юго-западное – вулканогенно-осадочными и терригенными породами морозовской

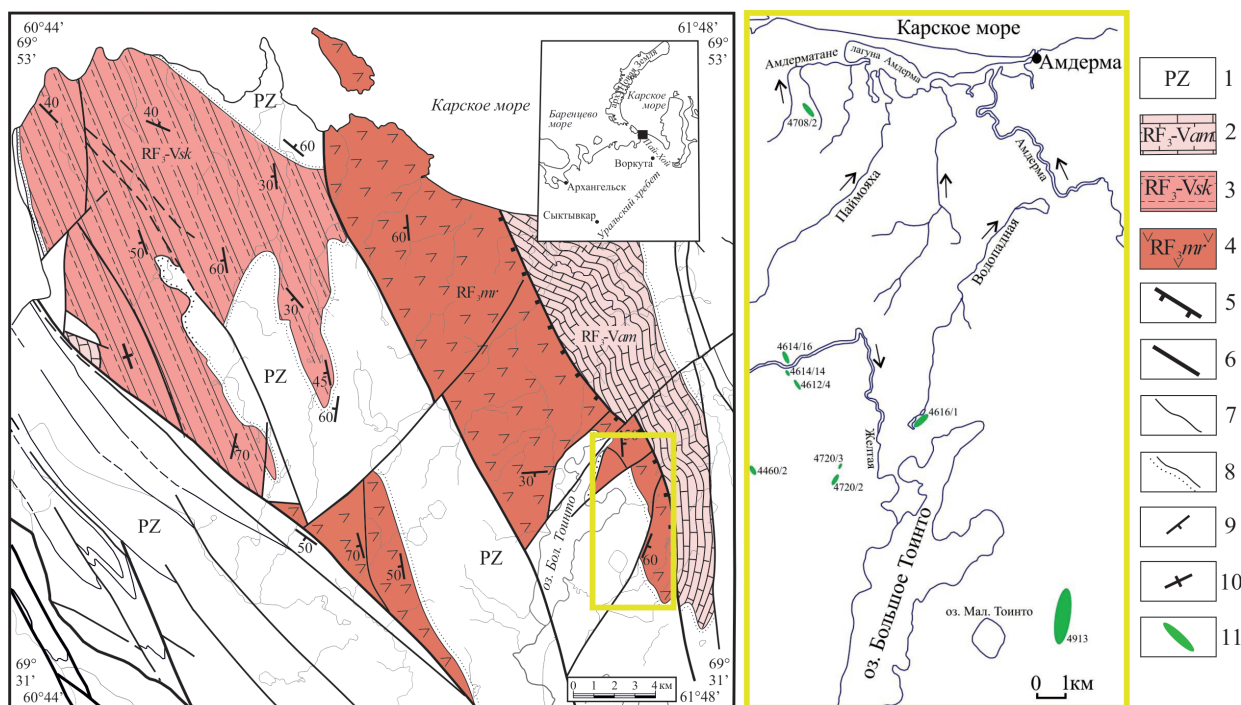


Рис. 1. Схема геологического строения Амдерминского блока, северо-западный Пай-Хой. Составлена по материалам ГДП-200 ЗАО «Полярgeo», 2015 г., с изменениями.

1 – палеозойские отложения; 2 – амдерминская свита ( $RF_3$ -Vam): кристаллические, микрофитолитовые известняки, редкие линзы кремней, тонкокристаллические углеродистые известняки; 3 – сокольниковская свита ( $RF_3$ -Vsk): песчаники, алевролиты, гравелиты, кремнистые сланцы, туфопесчаники, базальты, андезиты, риодакиты, риолиты и их туфы, субвулканические образования; 4 – морозовская свита ( $RF_3$ mr): сланцы глинистые, кремнистые и углеродистые, известняки, доломиты, сланцы по кислым туфам, базальты, андезибазальты, андезиты, риодакиты, их туфы, туфопесчаники, субвулканические образования; 5 – надвиги; 6 – разрывные нарушения; 7-8 – границы стратиграфических подразделений: 7 – согласные, 8 – несогласные; 9-10 – структурные элементы: 9 – наклонное залегание, 10 – вертикальное залегание; 11 – субвулканические тела морозовской свиты.

Fig. 1. Schematic geological structure of the Amderma block, northwestern Pay-Khoy, compiled on the basis of materials of additional geological study, scale 1:200 000, Polyargeo Company, 2015, modified.

1 – Paleozoic sediments; 2 – Amderminskaya Formation ( $RF_3$ -Vam): crystalline, microphytolithic limestones, rare chert lenses, fine-grained crystalline carbonaceous limestones; 3 – Sokolninskaya Formation ( $RF_3$ -Vsk): sandstones, siltstones, gravelites, chert shales, tuffaceous sandstones, basalts, andesites, rhyodacites, rhyolites and their tuffs, subvolcanic rocks; 4 – Morozov Formation ( $RF_3$ mr): shales, cherts and carbonaceous shales, limestones, dolomites, schistose felsic tuffs, basalts, andesites, andesibasalts, rhyodacites, their tuffs, tuffaceous sandstones, subvolcanic rocks; 5 – thrusts; 6 – faults; 7-8 – geological boundaries: 7 – between units with conformable bedding, 8 – unconformity; 9-10 – structural units: 9 – inclined bedding, 10 – vertical bedding; 11 – subvolcanic bodies of the Morozov Formation.

( $RF_3$ mr) и сокольниковской ( $RF_3$ -Vsk) свит. Внутреннее строение докембрийского комплекса, выходящего на поверхность в пределах этого блока, осложнено крупным субмеридиональным надвигом, проходящим в его восточной части. По надвигу отложения, распространенные в осевой и юго-западной частях Амдерминского блока, надвинуты на породы, слагающие его северо-восточную часть. Стратиграфических переходов между породами картируемых подразделений не выявлено, все три свиты имеют между собой тектонические контакты.

Небольшие позднепротерозойские интрузивные тела локализованы в полях распространения морозовской и сокольниковой свит. Среди них выделяются морозовские субвулканические образования основного состава и сокольниковые субвулканические образования кислого состава.

## **Объект исследования**

Объектом исследования являются обильнопорфировые базальты и андезибазальты, слагающие овально-вытянутые и линзообразные суббулканические тела в пределах морозовской свиты и наиболее распространенные восточнее оз. Малое Тоинто, по рр. Желтая и Амдерматане (рис. 1). Протяженность тел различная – от 100 до 1500 м. В современном рельефе эти тела обычно образуют изолированные сопки или вытянутые гряды, возвышающиеся на 3-30 м над окружающим рельефом. Контакты с вмещающими породами субсогласные.

Определенным критерием отличия суббулканических тел от эфузивных пород является обильное количество в них крупных порфировых короткопризматических вкрапленников клинопироксена (ряда эндиопсид-диопсид-авгит) размером до 1.5 см.

Возраст суббулканических образований условно принимается позднерифейским на основании их локализации в полях распространения морозовской свиты.

## **Аналитические методы**

Петрографический состав суббулканических базальтоидов изучался в прозрачных шлифах. Содержания петрогенных элементов определялись методом классического химического анализа в ЦКП «Геонаука» ИГ Коми НЦ УрО РАН (г. Сыктывкар) в соответствии с процедурами, описанными в (Унифицированные ..., 1979). Микрозондовый анализ проводился на спектральном электронном микроскопе Tescan Vega 3 LMH с эдс X-MAX 50mm Oxford Instruments в ЦКП «Геонаука» ИГ Коми НЦ УрО РАН (г. Сыктывкар). Содержания микроэлементов определены с использованием масс-спектрометрии с индуктивно-связанной плазмой (ICP-MS) во ВСЕГЕИ (г. Санкт-Петербург) по методике, опубликованной на сайте <https://vsegei.ru/ru/activity/labanalytics/lab/lab-operations/massspec.php>.

## **Петрографическая характеристика**

На макроуровне изученные породы серовато-зеленого цвета, с многочисленными порфировыми вкрапленниками плагиоклаза и пироксена. Микроскопически породы характеризуются обильнопорфировой и сериально-порфировой структурой и миндалекаменной или массивной текстурой.

Порфировые вкрапленники сложены соссюритизированными табличками и листами плагиоклаза (0.4-1.4 мм), их гломеропорфировыми сростками, призматическими зернами клинопироксена ряда эндиопсид – диопсид – авгит (до 60 % общего объема вкрапленников, 4-17 мм), в центре нередко замещенными волокнистым хлоритом (пикнохлоритом и рипидолитом), актинолитом, эпидотом, клиноцоизитом. В основной массе лепидонематогранобластовой структуры присутствуют мелкие листы альбита, чешуйки хлорита (пикнохлорита и диабантита) и серицита, иголочки актинолита и магнезиальной роговой обманки, скопления мелких зерен эпидота и клиноцоизита, мелкие ксеноморфные угловатые зерна титанита, апатит.

## **Петро- и геохимические характеристики**

По петрохимической классификации суббулканические морозовские образования принадлежат к семействам базальтов и андезибазальтов нормального и субщелочного петрохимического ряда. Содержание  $\text{SiO}_2$  в них варьирует в пределах 41.27-55.77 мас. % при сумме щелочей 2.04-6.53 мас. %. Они представляют собой натриевые и калиево-натриевые породы. Исходя из содержания  $\text{K}_2\text{O}$  подавляющая часть суббулканических образований характеризуются как низко- и к умереннокалиевые. По содержанию  $\text{Al}_2\text{O}_3$  (6.6-18.29 мас. %) являются высокоглиноземистыми (редко низкоглиноземистыми), а по содержанию  $\text{TiO}_2$  (0.31-0.88 мас. %) – весьма и умеренно низкотитанистыми породами. Все суббулканические образования относятся к породам известково-щелочной серии. По химическому составу суббулканические базальтоиды соответствуют эфузивным породам основного состава морозовской свиты, что может свидетельствовать об их комагматичности (Канева, 2016).

В породах отмечается низкое содержание редких земель (сумма РЗЭ – 18.6-29.2 г/т). На диаграмме распределения РЗЭ выделяется горизонтальный тип графика, с очень слабым отрицатель-

ным наклоном. Их составы незначительно больше обогащены легкими редкими землями относительно тяжелых ( $\text{La}_{\text{N}}/\text{Yb}_{\text{N}} = 1.5$ ), дефицит европия не проявлен ( $\text{Eu}_{\text{N}}/\text{Eu}_{\text{N}}^* = 0.6$ ). Для распределения литофильных элементов-примесей характерны относительно повышенные содержания крупноионных элементов (K, Rb, Ba, Sr, Th) и низкие, ниже NMORB, содержания высокозарядных. Проявлен небольшой Nb минимум. Обедненность литофильными элементами-примесями, низкие содержания Ti и Nb-отрицательная аномалия свидетельствуют о том, что магматический расплав формировался из мантии, истощенной в зоне субдукции.

На всех диаграммах (Мияширо, Вуда, Э. Муллена), используемых для реконструкции геодинамических обстановок формирования базальтоидов, точки составов рассматриваемых пород попадают в область островодужных образований.

### **Минералогическая характеристика**

Минералы эфузивных и субвулканических пород морозовской свиты затронуты метаморфическими процессами (замещены новообразованными фазами и их смесями) и единственным породообразующим минералом, наиболее хорошо сохранившимся, является клинопироксен. С помощью метода микрозондового анализа нам удалось выявить зональность клинопироксенов, связанную с фракционной кристаллизацией магмы (обогащение краев зерен Fe, Al) (Сazonova, 1999).

В эфузивных базальтах морозовской свиты фенокристаллы сложены клинопироксеном и плагиоклазом. Основная масса представляет собой мелкозернистый агрегат хлорита (пикнохлорит, диабантит), амфибола (актинолит, винчит), эпидот-клиноцизита и кальцита. Из акцессорных минералов были определены титанит и циркон.

Все клинопироксены относятся к подсемейству кальциевых пироксенов. Во вкрапленниках он диагностируется как эндиопсид, диопсид и авгит, в основной массе – авгит. Внутри зерен клинопироксенов, большая часть которых имеет сложную зональность, меняется показатель железистости ( $f = \text{Fe}^{2+}/(\text{Fe}^{2+}+\text{Mg}^{2+}) * 100$ ): от центров к промежуточным участкам зерен железистость уменьшается, а к краям наблюдается ее резкое увеличение. Но в основном наблюдается тенденция увеличения железистости от центра к краю. Также от центра к краю увеличивается содержание  $\text{Al}_2\text{O}_3$  (1.9-2.47 в центре; 2.04-3.88 в краевых частях). Составы клинопироксенов свидетельствуют об отличающихся условиях кристаллизации: вкрапленники формировались на глубине и поэтому имеют невысокий показатель железистости ( $f = 10-26$ ). Клинопироксен в основной массе обладает более высоким показателем железистости ( $f = 21-39$ ) и, вероятно, формировался при более низких температурах по сравнению с температурой кристаллизации фенокристаллов.

В субвулканических базальтах и андезибазальтах морозовской свиты фенокристаллы сложены клинопироксеном и плагиоклазом. Основная масса представляет собой мелкозернистый агрегат хлорита (пикнохлорит), амфибола (актинолит, канниллоит), эпидот-клиноцизита, мусковита, альбита. Из акцессорных минералов были определены титанит и хромшпинелид.

Во вкрапленниках клинопироксен определяется как эндиопсид, диопсид и авгит, в основной массе – авгит и субкальциевый авгит. Клинопироксены субвулканических образований обладают сложной зональностью. Исходя из наших наблюдений, мы можем выделить тренд, выражющийся в увеличении содержания  $\text{FeO}$ ,  $\text{Al}_2\text{O}_3$  и в уменьшении содержания  $\text{MgO}$ ,  $\text{CaO}$ ,  $\text{SiO}_2$  по направлению к краям зерен. Этот тренд отражает нормальный ход дифференциации расплава, а также быстрое падение температуры кристаллизации клинопироксенов. Вероятно, кристаллизация каймы клинопироксена происходила в близповерхностных условиях.

Содержание  $\text{Al}_2\text{O}_3$  в центральных частях составляет 1.46-2.41, а в краевых – 2.24-3.91. Наблюдается увеличение железистости от центра ( $f = 10-18$ ) к краю ( $f = 13-23$ ). Наиболее высоким показателем железистости ( $f = 25-30$ ) обладает клинопироксен в основной массе, что указывает на различные температурные режимы и условия их формирования.

После расчета средних показателей железистости клинопироксенов видно, что у эфузивных вулканитов он немного выше ( $f = 14-20$ ), чем у субвулканических образований ( $f = 13-19$ ). Это мо-

жет указывать на то, что субвулканические базальтоиды кристаллизовались при более высокой температуре на большей (но незначительно) глубине по сравнению с эфузивными породами морозовской свиты.

### **Выводы**

Петрологические и минералогические исследования позволили установить принадлежность обильнопорфировых базальтов к субвулканическим морозовским образованиям. По химическому составу субвулканические базальтоиды соответствуют эфузивным породам основного состава морозовской свиты, что может свидетельствовать об их комагматичности.

Во вкрацленниках клинопироксена в эфузивных и субвулканических базальтоидах морозовской свиты от центра к краям зерен отмечается уменьшение содержаний  $\text{SiO}_2$ ,  $\text{MgO}$  и  $\text{CaO}$  и увеличение содержаний  $\text{Al}_2\text{O}_3$ ,  $\text{FeO}$ . Вкрацленники клинопироксенов характеризуются прямой зональностью. Железистость клинопироксенов из основной массы наиболее высокая. Такой тренд изменения составов соответствует нормальному ходу дифференциации расплава в процессе фракционной кристаллизации при достаточно высоком водном давлении (DeBari Susan, 1989), а также низкой для расплава активности кремнезема, которая способствует встраиванию алюминия в решетку клинопироксена (Chambers, 1995). Повышенная железистость кайм вкрацленников и клинопироксенов из основной массы может указывать на быстрое падение температуры в ходе кристаллизации расплава, что может иметь место, когда после быстрого подъема магмы формирование кайм фенокристаллов и мелких кристаллов основной массы происходило уже в близповерхностных условиях.

В целом для клинопироксенов из эфузивных базальтоидов морозовской свиты характерны повышенные концентрации  $\text{FeO}$  и пониженные содержания  $\text{CaO}$  по сравнению с клинопироксенами из субвулканических пород, что связано с более низкой температурой кристаллизации покровных вулканитов морозовской свиты. Клинопироксен из основной массы эфузивных пород морозовской свиты немноголибо железнитый ( $f = 21\text{--}39$ ), по сравнению с клинопироксеном из основной массы в соответствующих субвулканических базальтоидах ( $f = 25\text{--}30$ ), что отражает более низкотемпературные условия кристаллизации пород покровной фации.

Работа выполнена в рамках темы НИР «Литосфера северо-востока Европейской платформы и севера Урала: вещественно-структурная эволюция, корреляция геологических событий, геодинамика, геохронология». ГР № АААА-А17-117121270035-0.

### **Литература**

1. Канева Т.А. Петрогенезис и геодинамика позднедокембрийских вулканитов северо-западного Пай-Хоя // Вестник И-та геологии Коми НЦ УрО РАН. Сыктывкар: Геопринт. 2016. № 12. С. 3–15. DOI: 10.19110/2221-1381-2016-12-3-15.
2. Сазонова Л.В., Носова А.А. Зональность клинопироксенов как функция условий остывания магматического расплава (на примере одинитов Урала) // Геохимия. 1999. № 12. С. 1268–1285.
3. Унифицированные методы анализа силикатных горных пород с применением комплексонометрии. Москва: Всесоюзный научно-исследовательский институт минерального сырья. 1979. 33 с.
4. Chambers A.D., Brown P.E. The Lilloise intrusion, East Greenland: fractionation of a hydrous alkali picritic magma // Journal of petrology. 1995. V. 36. No. 4. P. 933–962.
5. DeBari Susan M., Coleman R.G. Examination of the deep levels of an island arc: evidence from the Tonsina ultramafic-mafic assemblage, Tonsina, Alaska // Gournal of geophysical research. 1989. V. 94. No. B4. P. 4373–4391.